

# **Introducere in metoda Monte Carlo**

Introducere

Numere aleatoare

- generatorul de numere aleatoare uniform distribuite
- generarea de numere aleatoare avand diferite functii de distributie

Aplicatie: simulari Monte Carlo pentru modelul Glauber

Alte aplicatii

# Introducere

Metoda Monte Carlo realizeaza calculul numeric al unei probleme prin construirea unui proces statistic ai carui parametrii (media, probabilitatea/frecventa de aparitie a unui eveniment) sunt egali cu marimile cautate in respectiva problema.

Este cunoscuta si sub numele de metoda prelevarilor aleatoare (*random sampling*) sau simulare statistica.

*Eric W. Weisstein MathWorld-A Wolfram Web Resource.* <http://mathworld.wolfram.com/MonteCarloMethod.html>

Metoda Monte Carlo: orice metoda care rezolva o problema prin generarea de numere aleatoare (*random numbers*) si observarea acelei parti dintre numere care satisfac o proprietate sau mai multe.

In multe situatii rezolvarea problemei matematice  $\leftrightarrow$  joc de noroc in care probabilitatea de a castiga **P** este numarul a carui valoare dorim sa o cunoastem:

jucam jocul de **N**  $\rightarrow$  **r** castiguri  $\rightarrow$  **r/N = estimare a lui P**

Numita astfel de catre matematicianul S. Ulam, 1946; utilizata anterior de catre E. Fermi pentru rezolvarea problemei transportului de neutroni in diferite materiale.

Metoda este utila pentru obtinerea de solutii numerice pentru probleme a caror rezolvare analitica este prea complicata (nu e posibila). Metoda Monte Carlo – experiment statistic, (realizat cu calculatorul)  $\rightarrow$  rezultatele cele mai bune se obtin cand aplicam acest procedeu de calcul la fenomene care prin natura lor sunt aleatoare.

O data cu dezvoltarea calculatoarelor, M.C. a cunoscut o dezvoltare foarte mare .  
In prezent este utilizata pentru rezolvarea de probleme in multe domenii:

## Application areas

- \* Graphics, particularly for ray tracing; a version of the Metropolis-Hastings algorithm is also used for ray tracing where it is known as Metropolis light transport
- \* Modeling light transport in biological tissue
- \* Monte Carlo methods in finance
- \* Reliability engineering
- \* In simulated annealing for protein structure prediction
- \* In semiconductor device research, to model the transport of current carriers
- \* Environmental science, dealing with contaminant behavior
- \* Search And Rescue and Counter-Pollution. Models used to predict the drift of a life raft or movement of an oil slick at sea.
- \* In probabilistic design for simulating and understanding the effects of variability
- \* In physical chemistry, particularly for simulations involving atomic clusters
- \* In biomolecular simulations
- \* In polymer physics
  - o Bond fluctuation model
- \* In computer science
  - Monte Carlo algorithm
  - Las Vegas algorithm
  - LURCH
  - Computer go
  - General Game Playing
- \* Modeling the movement of impurity atoms (or ions) in plasmas in existing and tokamaks (e.g.: DIVIMP).

## Numere aleatoare

generatorul de numere aleatoare uniform distribuite in intervalul [0,1]

$$x_1, x_2, \dots, x_i, \dots, \quad x_i = \begin{cases} 1, \text{ cu probabilitate } 1/2 \\ 0, \text{ cu probabilitate } 1/2 \end{cases}$$

$$\xi = \sum x_i 2^{-i}$$

$$\xi \quad \text{marime aleatoare uniform distribuita in intervalul [0,1]} \quad \begin{cases} f(x)=1 & 0 \leq x \leq 1 \\ f(x)=0 & x \notin [0,1] \end{cases}$$

Numere aleatoare adevarate:  $x_i$  generate folosind o sursa radioactivă oarecare

t timp de masura al particulelor emise de sursa

$$\begin{cases} \text{numar de particule par} \rightarrow x_i = 1 \\ \text{numar de particule impar} \rightarrow x_i = 0 \end{cases}$$

Numere pseudoaleatoare: generate folosind un algoritm de calcul:

*Exemplu:*  $R_{n+1} = (a R_n + c) \text{ mod } m$  (2)

$R_0$ ,  $0 < R_0 < m$ , valoarea de start (seed)

Dezavantaje:

$\{R_i\}$  realizatia unei marimi aleatoare  $\zeta \neq \xi$  obtinuta pe baza unui algoritm, unde  $\xi$  marime aleatoare adevarata

- f.d. p. a lui  $\zeta$  se abate de la u.d. In  $[0,1]$ :

Numere aleatoare adevarate

Numere pseudoaleatoare

Speranta matematica:

$$M[\xi] = \int_0^1 x dx = 1/2$$

$$M[\zeta] = 1/2(1 - 1/2^k)$$

Dispersia:

$$D[\xi] = M[\xi^2] - (M[\xi])^2 = 1/12$$

$$D[\zeta] = 1/12(1 - 1/4^k)$$

k-numarul de cifre binare cu care se formeaza  $\{R_i\}$

- dupa o anumita perioada sirul de numere pseudoaleatoare  $\{R_i\}$  se repeta

*Exemplu:* generatorul Lehmer  $R_{n+1} = k R_n \text{ mod } m$  (obtinut din (2) pentru  $c = 0$ )  
 $k=23, m = 10^8 + 1$

are perioada de 5 882 352 → trebuie calculat numarul total de numere aleatoare folosite intr-un program de simulare si verificat sa fie mai mic decat perioada

In prezent calculatoarele dotate cu generatoare de numere aleatoare cu perioada mult mai mare

*Avantaj:* pentru o valoare de start data → acelasi sir  $\{R_i\}$  de numere pseudoaleatoare  
→ posibilitate de verificare si corectare a programului de simulare

## generarea numerelor aleatoare cu functie de distributie data

- metoda directa (metoda inversarii)

$x$  marime aleatoare cu functia de densitate de probabilitate  $f(x)$  continua

$$\int_{-\infty}^{x_i} f(y) dy = R_i, \quad R_i \text{ u.d. in } [0,1] \quad \leftarrow \text{teorema}$$

$F(x_i) = R_i$ ,  $F(x_i)$  - functia de distributie cumulativa a lui  $x$

$$x_i = F^{-1}(R_i) \quad (1)$$

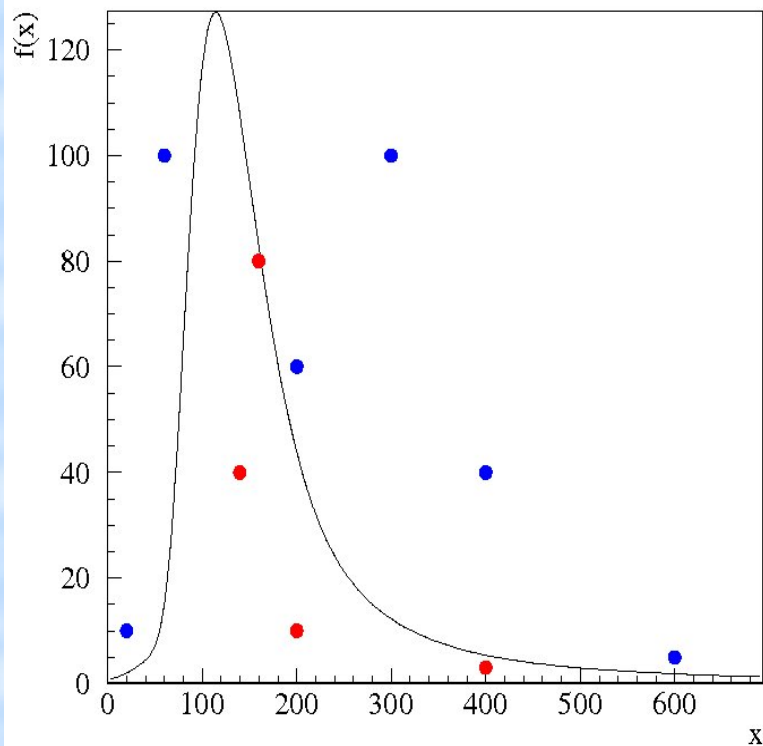
Exemplu: obtinerea de numere aleatoare cu legea de distributie exponentiala

$$f(x) = \lambda e^{-\lambda x}, \quad x > 0$$

$$\lambda \int_0^{x_i} e^{-\lambda x} dx = R_i$$

$$(1) \rightarrow \begin{aligned} 1 - e^{-\lambda x_i} &= R_i \\ x_i &= -1/\lambda \ln(1 - R_i) \end{aligned}$$

## - metoda rejectiei



Variabila X care e descrisa de functia de densitate de probabilitate (f.d.p.)  $f(x)$

Se genereaza  $\{R_i, R_{i+1}\}$

$$x_i = b \cdot R_i, f_i = f(x_i); \quad y_i = \text{Max}[f(x)] \cdot R_{i+1}$$

$y_i < f_i \rightarrow \{x_i, y_i\}$  puncte situate in aria de sub  $f(x)$   
 $x_i \{R_i\}$  se pastreaza

$y_i > f_i \rightarrow \{x_i, y_i\}$  puncte situate in afara aria de sub  $f(x)$   
perechea  $R_i, R_{i+1}$  se rejecteaza

prin repetarea acestui proces se obtin  $\{x_i\}$  cu f.d.p.  $f(x)$

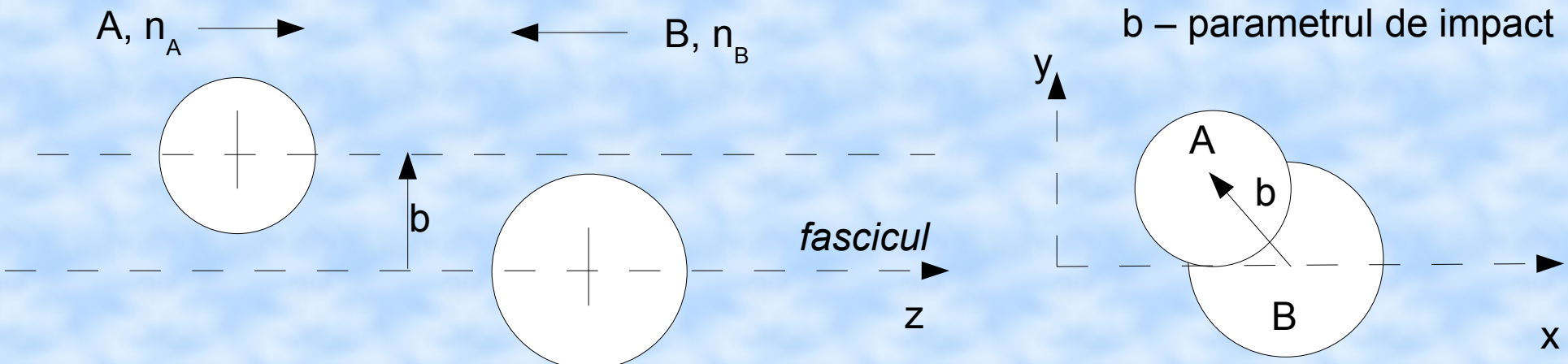
*Aplicatie:* Calculul integralei lui  $f(x) \quad J = \int f(x) dx$

$N$  puncte dintre care  $N_1$  cad in aria de sub  $f(x)$

$N_1/N$  estimare a integralei cu eroarea  $0.6745 \sqrt{J(1-J)/N}$

ordinul de marime al erorii in metoda M.C.  $\sim \sqrt{1/N}$

## Aplicatie: simulari Monte Carlo pentru modelul Glauber



In timpul interactiei dintre cele 2 nuclee  $\rightarrow$  zona de overlap in care sunt  $N_{\text{part}}$  nucleoni intre care au loc  $N_{\text{coll}}$  ciocniri. Modelul Glauber Monte Carlo (modelul nucleonilor raniti – *Nucleons Wounded Model - NWM*) permite calculul marimilor “geometrice”  $N_{\text{part}}$ ,  $N_{\text{coll}}$  pentru  $b$  dat.

3 ipoteze de baza:

- sectiunea de reactie a nucleonilor in nuclee este  $\sigma_{\text{nn}}$  – sectiunea de imprastiere inelastica nucleon-nucleon pentru nucleonii liberi
- energia nucleonilor e foarte mare  $\rightarrow$  dupa ce sufera o interactie nucleonul isi continua drumul nedeviat si poate avea o alta interactie cu aceeasi sectiune  $\sigma_{\text{nn}}$
- imprastierea elastica este neglijata intrucat depunerea de energie in urma unei astfel de interactii este foarte mica

$\sigma_{\text{nn}}$   $\rightarrow$  dependenta de energie in modelul Glauber

$\sqrt{s}$ (GeV)	19	200	5500
$\sigma_{\text{nn}}$ (mb)	31	42	63

## Procesul de simulare: pozitionarea tuturor nucleonilor in cele 2 nuclee

Pasii procesului de simulare:

**A** – pozitionarea celor  $n_A$  nucleoni ai nucleului A contor  $j_A$

generarea coordonatelor sferice ( $r, \theta, \varphi$ ) ale unui nucleon in nucleul A (in sist. de coord. al lui A)

1) generarea variabilei  $r$  cu f.d.d.  $n(r) = c \cdot 4\pi r^2 \cdot \rho(r)$ , unde  $\rho(r)$  – functia Fermi care descrie distributia de densitate nucleara

metoda rejectiei:  $\{R_1, R_2\}$  u.d. in  $[0,1]$

( $n(r)$  are expresia completa pe slide-ul urmator)

$$x_1 = R_{\max}(A) \cdot R_1; \quad n(x_1) < R_2 \quad r = x_1$$

$n(x_1) > R_2$  generam alta pereche  $\{R_1, R_2\}$  u.d. in  $[0,1]$

2) generarea unghiului azimutal  $\varphi$  – uniform distribuit in  $[0, 2\pi]$ :  $\varphi = 2\pi R_3$

3) generarea unghiului polar  $\theta$  – cosinusul lui  $\theta$  u.d. in  $[-1, 1]$ :  $\cos \theta = -1 + 2 \cdot R_4$

Repetam pasii (1-3)

$d_0 = 0,4$  fm - raza de actiune a fortelelor repulsive in interactia nn

d – distanta intre centrele nucleonilor din A

Nr. pas  $\geq 2$   $d < d_0$

Nu -se pastreaza  $j_A = j_A + 1$

$j_A = n_A$  end

$j_A < N_A$  repeta (1-3)

Da - se arunca coordonatele

**B** – pozitionarea celor  $n_B$  nucleoni ai nucleului B – ca si pt. nucleul A

distributia de densitate nucleara radiala a numarului de nucleoni:

$$n(r) = c 4\pi r^2 \rho(r); \quad \int n(r) dr = n_A \rightarrow c$$

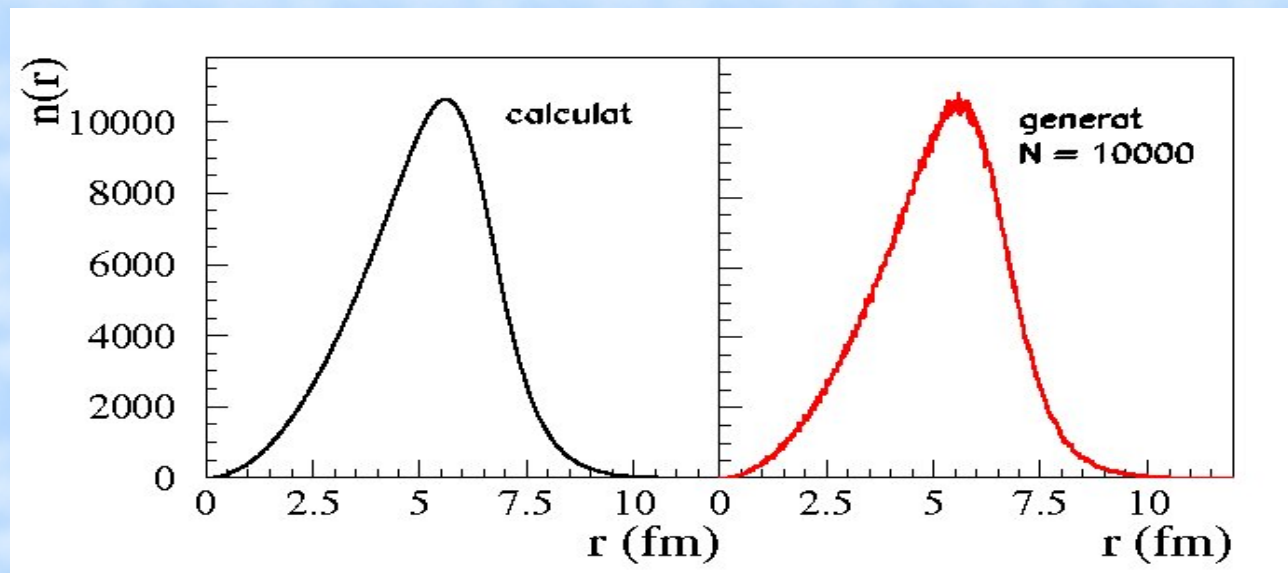
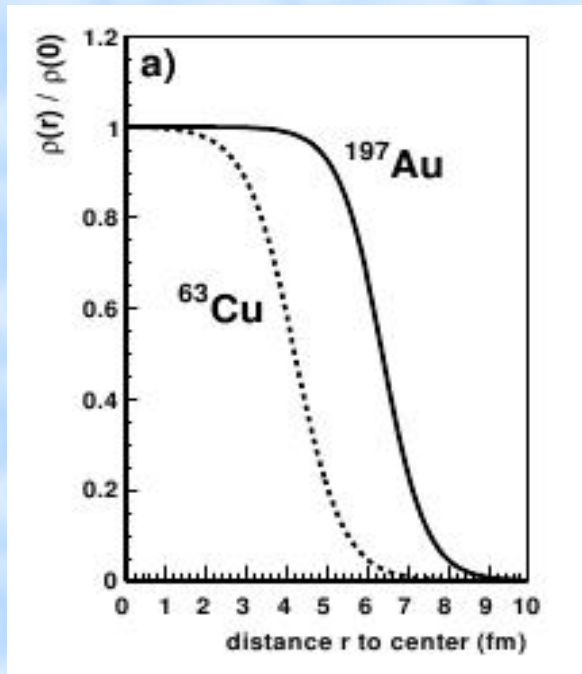
Functia Fermi:

$$\rho(r) = \rho_0 \cdot \frac{1 + w(r/R)^2}{1 + \exp\left(\frac{r-R}{a}\right)}$$

$w$  - deviatia formei nucleului de la sfericitate;  
pentru nucleul de aur  $w=0$

$a$  – grosimea invelisului (“skin”) nucleului  $a = 0.53$  fm

$R$  - raza nucleului  
 $R = (1.12 A^{1/3} - 0.86 A^{-1/3})$  fm,  
 $A$  – masa nucleului in u.a.m.



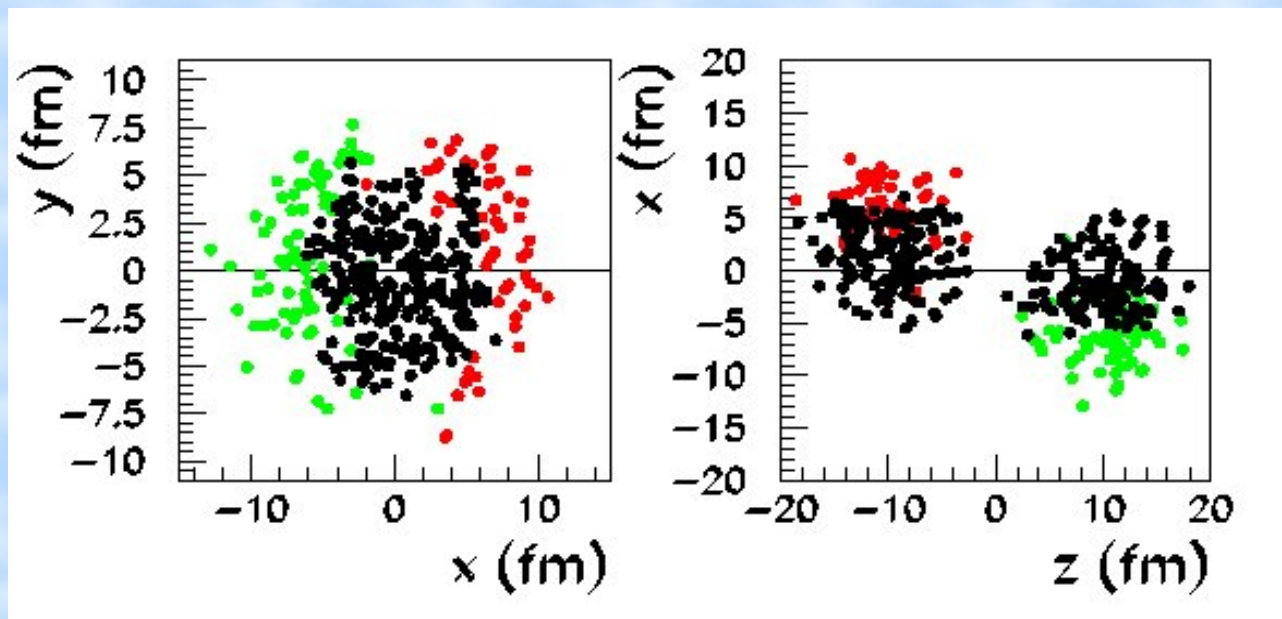
## Determinarea numarului de nucleoni participanti la interactie

Se translateaza cele 2 nuclele incat sa avem intre centrele lor distanta  $b$  si se calculeaza  $D$  – distanta dintre centrele a 2 nucleoni, unul apartinand lui A, celalalt lui B, in planul ortogonal pe axa fascicului ( $xOy$ )

$\sigma_{nn}$  - sectiunea eficace de imprastiere inelastica

Se considera participanti la interactie toti nucleonii pentru care distanta intre centrele lor in planul  $xOy$  (planul ortogonal pe axa fascicului):

$$\pi D^2 < \sigma_{nn} ; \quad D < \sqrt{\sigma_{nn}}/\pi$$



Au + Au,  $\sqrt{s} = 200$  GeV

$$\sigma_{nn} = 42 \text{ fm}^2$$

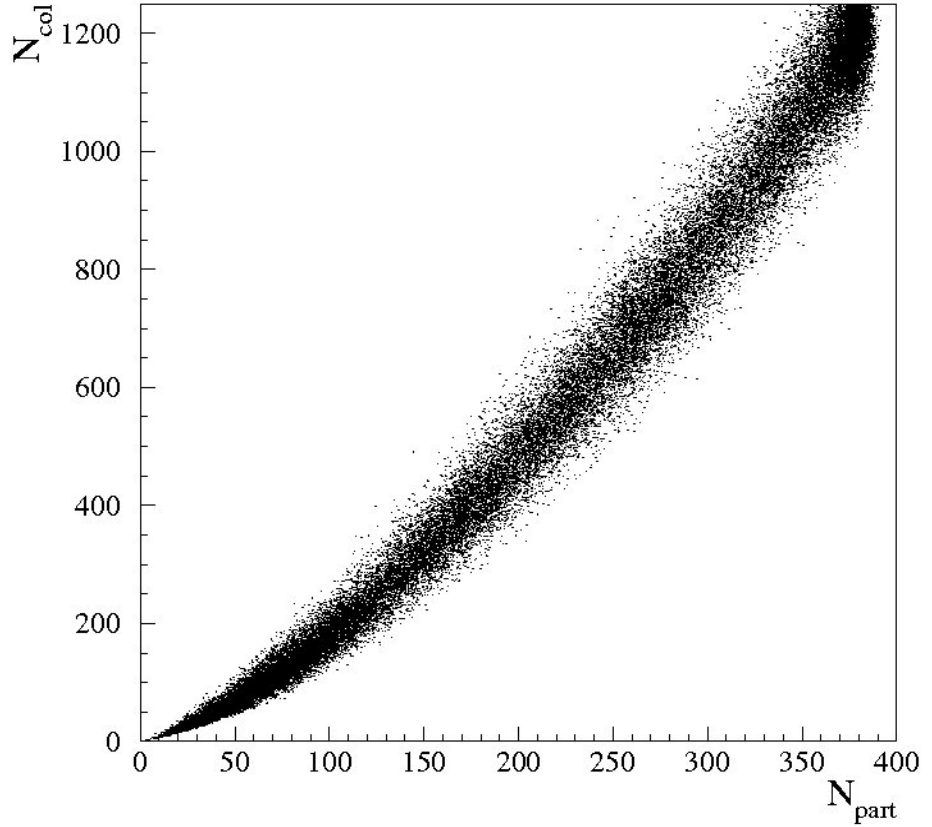
$$D = 1,34 \text{ fm}$$

$$R = 6,38 \text{ fm}, b = 6 \text{ fm}$$

$$d = 0,4 \text{ fm}$$

Se repeta procesul de simulare a interactiei intre 2 nucleele de  $N$  ori

$$\overline{N}_{part} = \sum N_{part}^i / N \quad \overline{N}_{coll} = \sum N_{coll}^i / N$$

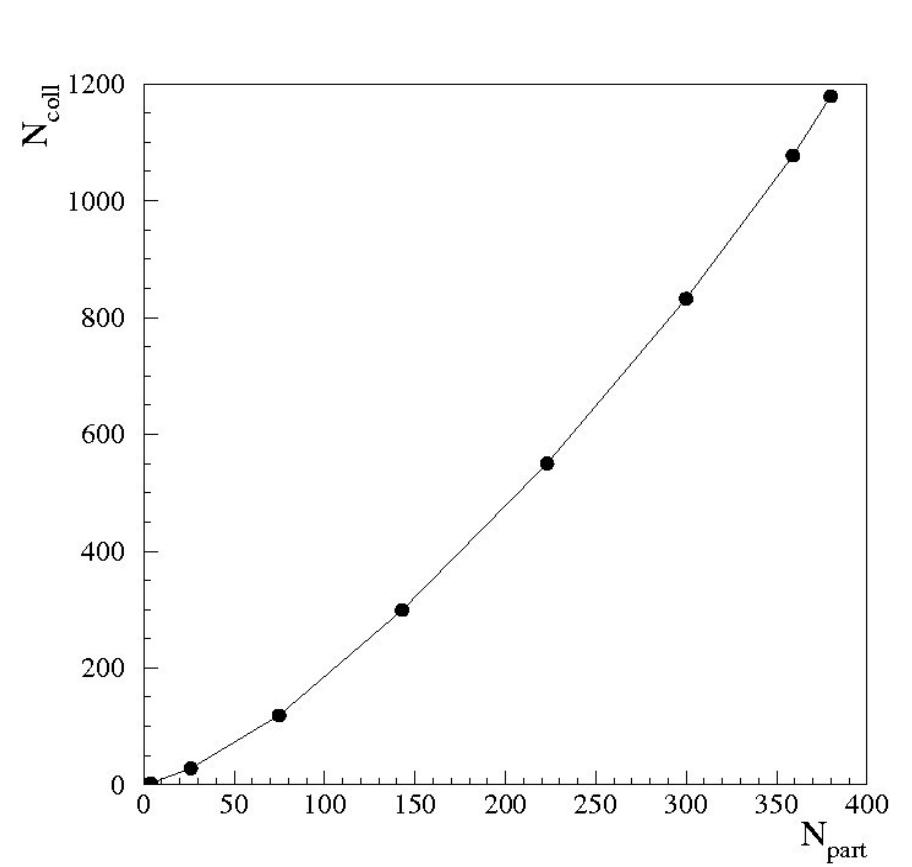


$\text{Au} + \text{Au} \sqrt{s} = 200 \text{ GeV } \mathbf{b} \text{ u.d. in } [0, 12] \text{ fm}$

$N = 50\,000$

$\text{Au} + \text{Au} \sqrt{s} = 200 \text{ GeV}$

fiecare punct  $(N_{\text{coll}}, N_{\text{part}}) \rightarrow$   
medie pentru  $N = 10\,000$



Marimile geometrice  $b$ ,  $N_{\text{part}}$ ,  $N_{\text{coll}}$  determinate cu ajutorul modelului Glauber nu sunt marimi care se masoara experimental. In experimente se detecteaza particulele incarcate si se obtin distributiile de multiplicitate ale particulelor incarcate  $N_{\text{ev}}$  vs  $N_{\text{ch}} \rightarrow$  elaborate procedee pentru a gasi relatia lor cu marimi experimentale

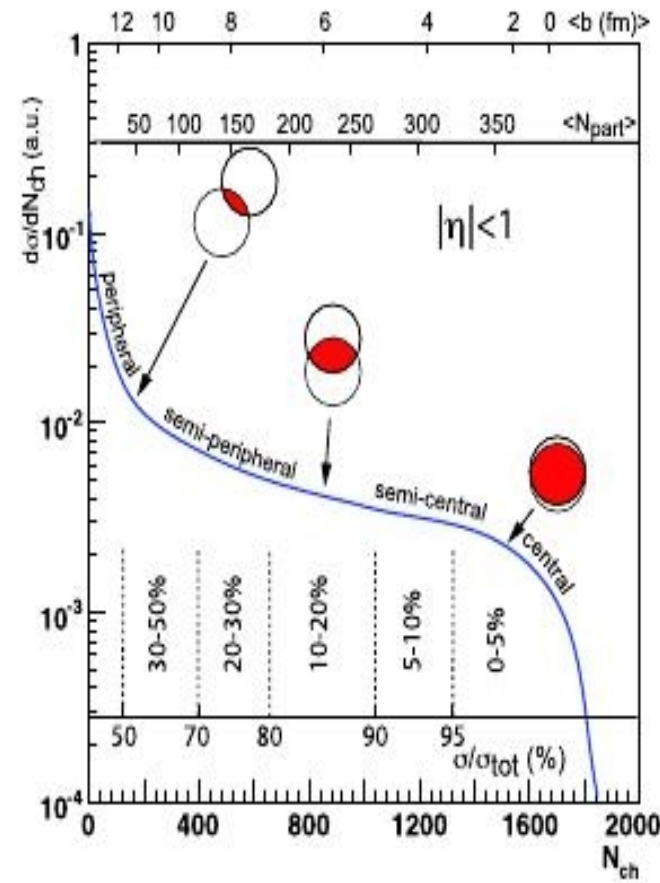
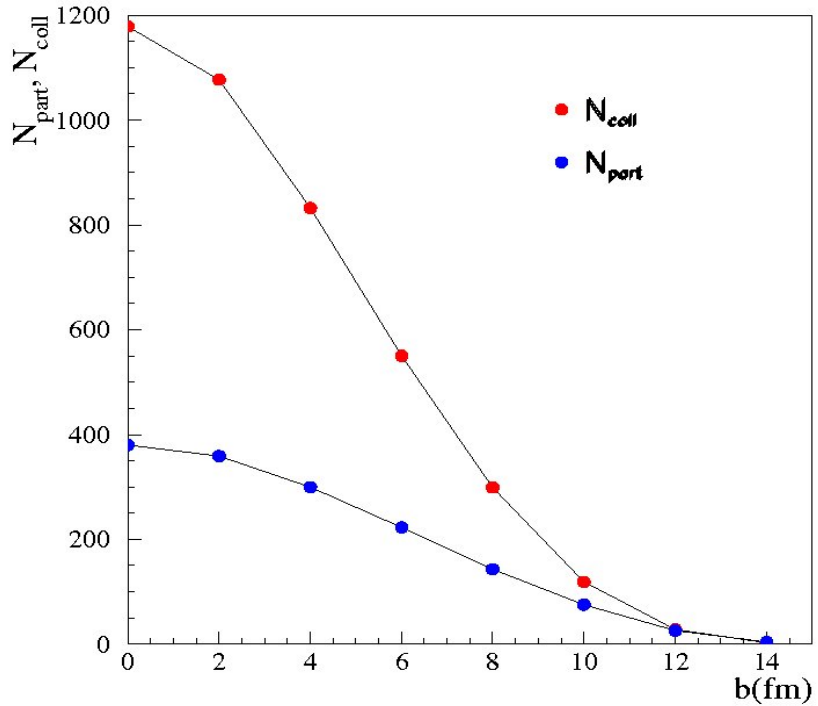
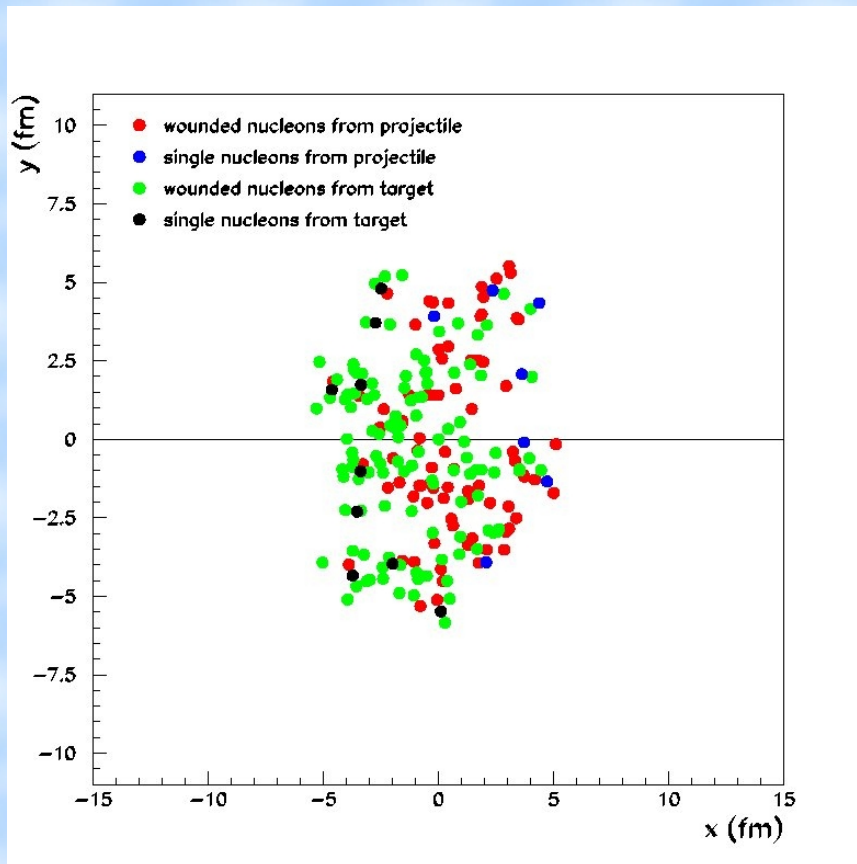


Figure 8: A cartoon example of the correlation of the final state observable  $N_{\text{ch}}$  with Glauber calculated quantities ( $b$ ,  $N_{\text{part}}$ ). The plotted distribution and various values are illustrative and not actual measurements (T. Ullrich, private communication).

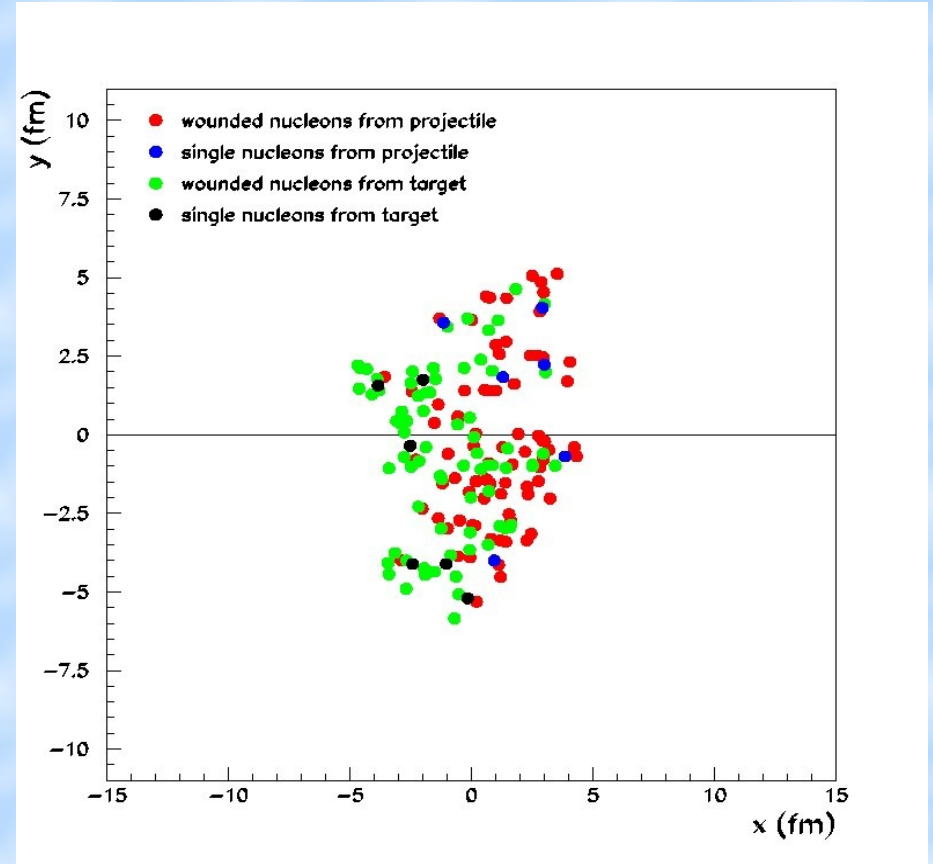
**Utilitatea** informatiei obtinute din modelul Glauber - determinarea influentei geometriei initiale a procesului de interactie asupra observabilelor masurate experimental pentru a intelege mai bine fenomenele nucleare

$$\text{Au} + \text{Au} \sqrt{s} = 200 \text{ GeV}$$

$$b = 6 \text{ fm}$$



$$b = 8 \text{ fm}$$



Forma fireball-ului diferita de la o interactie la alta

- Influenta fluctuatiei formei fireball-ului asupra differitelor marimi masurate experimental, de exemplu asupra distributiei azimutale a particulelor produse in interactie

- Scalarea multiplicitatii totale particulelor incarcate in interactia nucleu-nucleu la multiplicitatea totala din interactia nucleon-nucleon

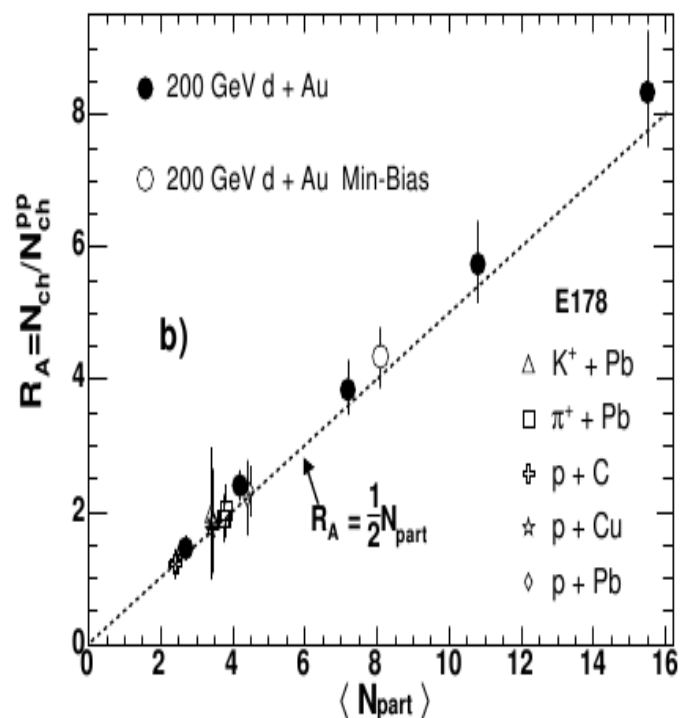


Fig. 2. The ratio of the total charged particle multiplicity in hadron–nucleus and deuteron–nucleus collisions to that in hadron–proton collisions at the same energy, as a function of the number of participants, Ref. [4].

In interactiile pA, hA si dA la energii inalte s-a observat experimental o scalare a raportului  $R_A$  cu  $N_{\text{part}}$  → a stimulat introducerea marimii  $N_{\text{part}}$ , elaborarea Monte Carlo pentru Glauber (NWM) pentru calculul ei.

A. Bialas et al.,  
Nucl.Phys. B111, 461 (1976)  
Wounded Nucleon Model

Pe baza scalarii observate experimental NWM afirma: productia de particule intr-o interactie nucleara este o superpozitie de contributii independente (ale productiei de particule) de la nucleonii wounded din tinta. → suficient sa masori productia de particule in ciocniri elementare si sa numeri nucleonii participanti din tinta pentru a obtine multiplicitatea in interactia hadron-nucleu.

In interactia nucleu-nucleu se mentine propotionalitatea  $N_{ch}/(N_{part}/2)$  cu Npart, insa valoarea corespunzatoare pentru interactia pp este mult mai jos.

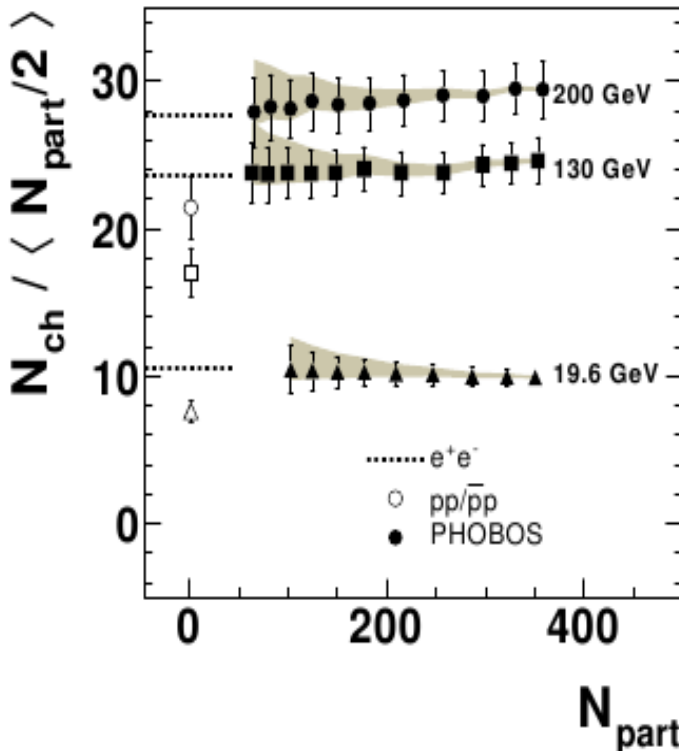


Fig. 6. Total charged particle multiplicity per participant pair for Au–Au collisions at four RHIC energies, vs the number of nucleon participants. Notice the *p*–*p* points lying systematically lower, Ref. [13].

In prezent multe studii in care se cauta raspunsul la aceasta comportare:

- sectiunea de interactie a nucleonilor in nuclee este sectiunea de interactie a nucleonilor liberi?
- rezultate bune in unele cazuri daca se scaleaza N<sub>ch</sub> la N<sup>q</sup><sub>part</sub>

H. Bialkowska, Acta Phys. Pol. B37, 3415,2006

S. Eremin, S. Voloshin, Phys. Rec. C 67, 064905, 2003

## **Alte aplicatii**

determinarea factorilor de unghi solid si de autoabsortie a radiatiei gamma

determinarea corectiilor de evaporare pentru procesele profund inelastice  
din interactia ionilor grei usori

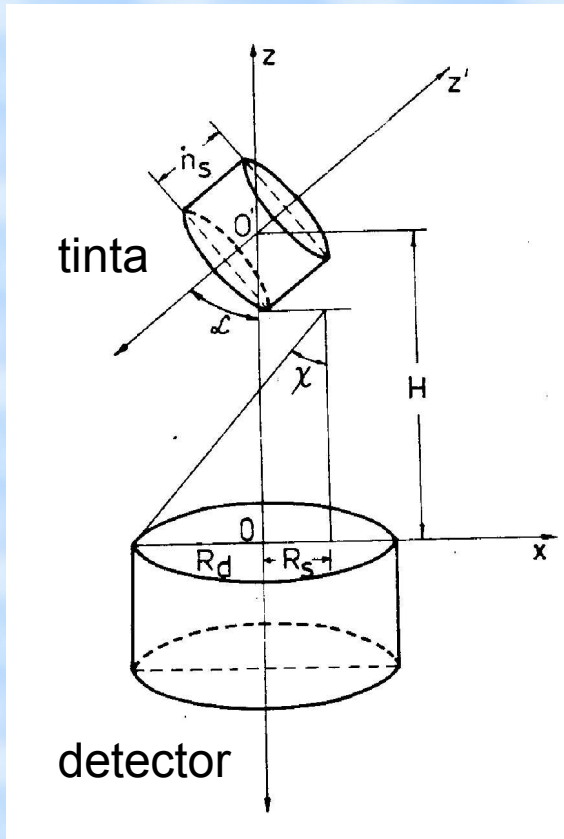
determinarea geometriei optime pentru experiment de coincidenta fragment-fragment  
cu aranjamentul experimental DRACULA

determinarea numarului de straturi TRD pentru care se obtine o putere de separare  
a electronului de pion sub 0.1% folosind distributiile in amplitudine ale electronului si  
pionului determinate experimental cu un TRD cu singur strat de radiator

## determinarea factorilor de unghi solid si de autoabsortie a radiatiei gamma

Se considera ca radiatia este izotropa si punctele de emisie ale radiatiei sunt u.d. in tinta  
 Dorim sa aflam:

- numarul de  $\gamma$  care cade pe suprafata detectorului  $\rightarrow$  clasa de evenimente  $N_1$
- numarul de  $\gamma$ , dintre cele  $N_1$ , care e absorbit in tinta  $\rightarrow$  clasa de evenimente  $N_2$



Pasi:

- generarea coordonatelor punctului de emisie in interiorul tintei
  - generarea izotropa in  $4\pi$  a radiatiei  $\gamma$
  - calculul intersectiei traectoriei cu planul  $z = 0$ :  $(x_R, y_R)$
  - $x_R^2 + y_R^2 < R_d^2 \rightarrow$  evenimentul apartine clasei  $N_1$
  - pentru evenimentele  $N_1$  se determina parcursul / al radiatiei in tinta
  - se genereaza un parcurs liber mijlociu  $x$  in tinta, despre care se stie ca este o marime aleatoare cu f.d.p exponentiala  $f(x) = e^{-\mu x}$ , unde  $\mu$  este coeficientul de absortie total al tintei:  $L = -(\ln R_i)/\mu$
  - $/ < L$  evenimentul apartine clasei  $N_2$
- Se repeta pasii de  $N$  ori

$$\text{factorul de unghi solid } f_{\Omega} = N_1/N; \quad \text{factorul de autoabsortie } f_A = N_2/N_1$$

Nuclear and particle physics codes using the Monte Carlo method:

- \* GEANT — CERN's simulation of high energy particles interacting with a detector.
  - \* FLUKA — INFN and CERN's simulation package for the interaction and transport of particles and nuclei in matter
  - \* SRIM, a code to calculate the penetration and energy deposition of ions in matter
  - \* CompHEP, PYTHIA — Monte-Carlo generators of particle collisions
  - \* MCNP(X) - LANL's radiation transport codes
  - \* MCU: universal computer code for simulation of particle transport (neutrons, photons, electrons) in three-dimensional systems by means of the Monte Carlo method
- etc

[http://en.wikipedia.org/wiki/Monte\\_Carlo\\_method](http://en.wikipedia.org/wiki/Monte_Carlo_method)